

ИЗВЕСТИЯ  
ТОМСКОГО ОРДЕНА ТРУДОВОГО КРАСНОГО ЗНАМЕНИ ПОЛИТЕХНИЧЕСКОГО  
ИНСТИТУТА им. С. М. КИРОВА

Том 158

1968

**РАСЧЕТ МАГНИТНОЙ ЦЕПИ ТРАНСФОРМАТОРНОГО  
ПРЕОБРАЗОВАТЕЛЯ УГЛА С УЧЕТОМ ПОТОКОВ  
ВЫПУЧИВАНИЯ И РАССЕЯНИЯ**

А. Е. СИМАКОВ, М. А. ТЫФЫШКИН

(Представлена научным семинаром кафедры автоматики и телемеханики)

Для преобразования углов отклонений в датчиках систем автоматического контроля используются бесконтактные трансформаторные преобразователи угла [1, 2, 3]. В следящих системах подобные преобразователи иногда называют «следящим трансформатором» [4].

Одним из этапов расчета таких преобразователей является расчет его магнитной цепи: определение магнитных сопротивлений стальных участков, проводимостей воздушных зазоров, определение требуемой намагничающей силы. От точности расчета магнитной цепи зависит точность расчета статической характеристики преобразователя, его реактивных сил и моментов.

Расчет с учетом сопротивления стали может быть осуществлен исходя из представления сопротивления стали в комплексной форме [5, 6]. Для устранения влияния сопротивления стальных участков магнитной цепи на статические характеристики рассматриваемые преобразователи работают, как правило, в режиме малого насыщения, при этом основное сопротивление магнитному потоку оказывают только воздушные зазоры.

Трансформаторные преобразователи угла распространены главным образом как преобразователи двухстороннего действия с симметричной магнитной цепью. В таких преобразователях все четыре полюсных наконечника одинаковы [2]. Когда же требуется преобразовывать отклонения только одного знака, один полюсный наконечник может быть сделан короче трех других (рис. 1, а).

Необходимость в укороченном полюсном наконечнике, когда отношение длины нормального полюса к зазору велико, обусловлена в основном требованием устраниния реактивного момента в нулевом положении якоря. При малых полюсных наконечниках и больших зазорах разница в длинах полюсных наконечников может привести, кроме того, к большой величине рассогласования в нулевом положении якоря. Влияние длины укороченного полюсного наконечника на реактивный момент и рассогласование рассмотрено в работе [7].

В данной статье приводится методика расчета магнитной цепи без учета сопротивления стали, в основу которой положены работы проф. Б. К. Буля по теории и расчету магнитных цепей [8, 9, 10].

Преобразователь рассматривается с обмоткой возбуждения на средней и сигнальными обмотками, включенными встречно — на крайних полюсах.

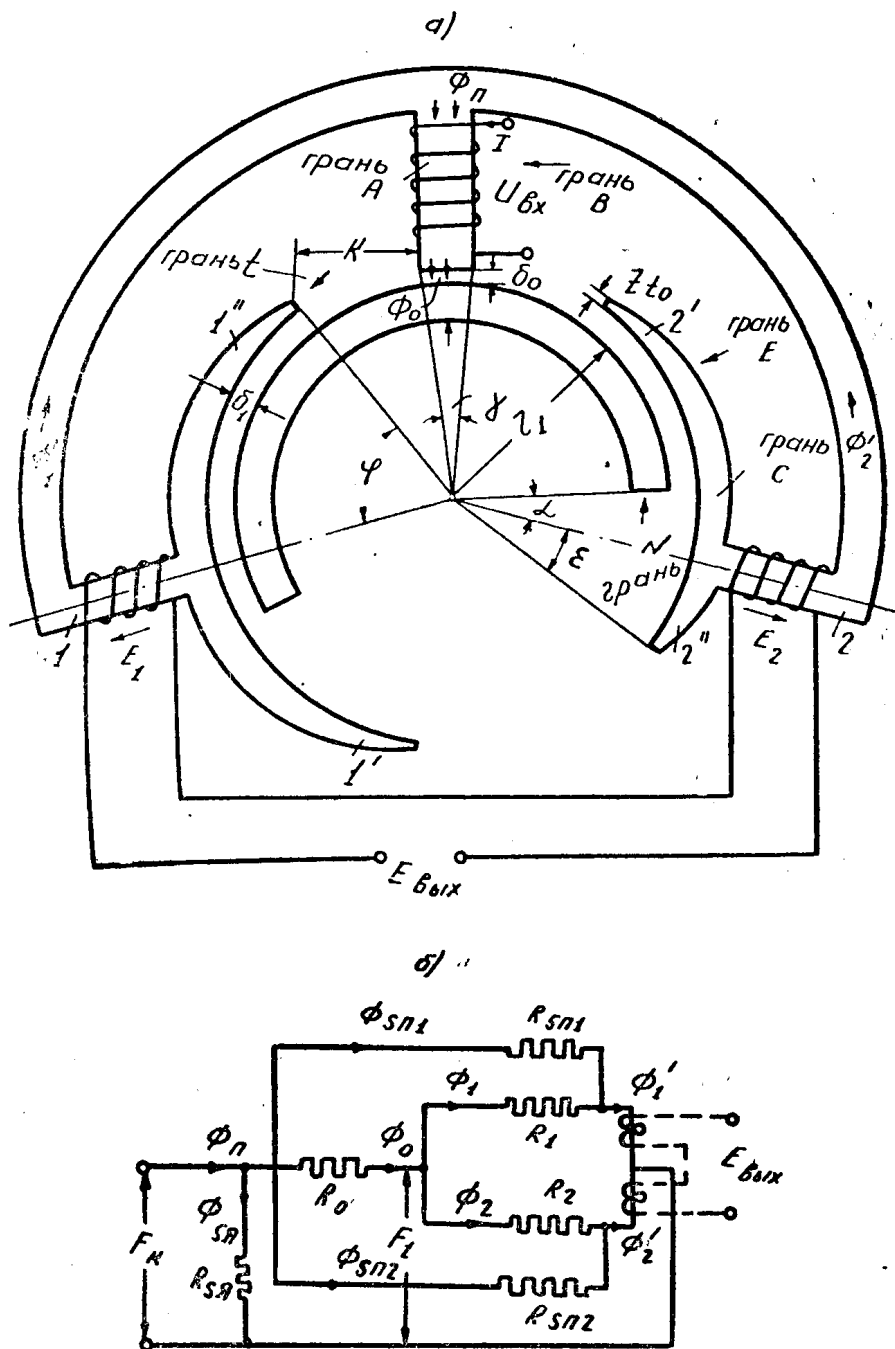


Рис. 1. Принципиальная схема (а) и схема замещения магнитной цепи (б) трансформаторного преобразователя угла без учета сопротивления стали и разомкнутом выходе

Для токов эдс напряжений приняты действующие значения, для индукций и магнитного потока — максимальные.

С учетом активного сопротивления провода обмотки возбуждения число витков этой обмотки [10]

$$w_0 = \frac{U_{\text{вх}}}{V C_1^2 + C_2^2}, \quad (1)$$

где

$U_{\text{вх}}$  — напряжение источника питания,

$$C_1 = \rho l_{\text{ср}} i_q, \quad C_2 = \frac{\omega \Phi_n}{\sqrt{2}}. \quad (2)$$

Здесь  $\rho$  — удельное электрическое сопротивление обмоточного провода;

$i_q$  — плотность тока в проводе катушки возбуждения,  
 $\omega$  — частота источника питания.

Магнитный поток в сердечнике полюса обмотки возбуждения

$$\Phi_n = B_m S, \quad (3)$$

где  $S$  — его сечение,

$B_m$  — магнитная индукция в сердечнике.

Средняя длина витка (рис. 2а, б)

$$l_{\text{ср}} = 2(a' + b') + \pi H, \quad (4)$$

$$a' = a + 2\Delta_1, \quad b' = b + 2\Delta_1.$$

Для определения намагничивающей силы, обеспечивающей заданный магнитный поток  $\Phi_n$ , необходимо определить магнитные проводимости зазоров.

Рассчитать эти проводимости с учетом выпучивания можно аналитически или построением картины поля. Аналитически удельные проводимости выпучивания могут быть определены с помощью экспериментальных кривых проф. Б. К. Буля [9] при соответствующих соотношениях параметров магнитопровода [7]. Следует, однако, иметь в виду, что непосредственно использовать кривые Б. К. Буля, которые получены для случая «полюс — плоскость», без большой погрешности можно только для преобразователей с большими радиусами  $r_1$  (рис. 1, а), когда кривизна якоря незначительна. При малых  $r_1$  действительная удельная проводимость выпучивания будет меньше удельной проводимости, определенной из кривых Б. К. Буля.

В данной статье приводится методика определения проводимостей зазоров построением картин поля. Условимся ниже обозначать величины, относящиеся к левой половине преобразователя (полюс сигнальной обмотки 1): магнитные проводимости, магнитные потоки и т. п. — с индексом 1, а те же величины, относящиеся к правой половине (полюс сигнальной обмотки 2), — с индексом 2.

Для построения картины поля необходимо знать магнитный потенциал, под которым находится якорь. В соответствии со схемой замещения магнитной цепи (рис. 1, б, без учета сопротивления стальных участков) магнитный потенциал якоря

$$F_1 = \frac{G_0}{G_1 + G_2 + G_0} F_k, \quad (5)$$

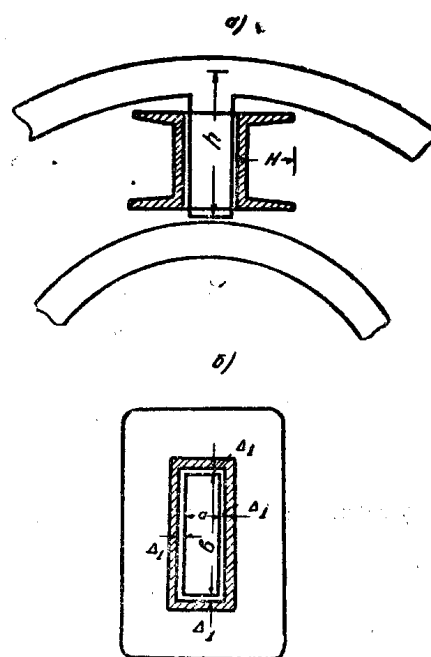


Рис. 2. К определению числа витков обмотки возбуждения.

$$G_0 = \frac{1}{R_0}, \quad G_1 = \frac{1}{R_1}, \quad G_2 = \frac{1}{R_2}.$$

Магнитные проводимости воздушных зазоров—полюса обмотки возбуждения  $G_0$  и полюсов сигнальных обмоток  $G_1$  и  $G_2$ —здесь можно приближенно определить аналитически. Без учета выпучивания эти проводимости определяются только параметрами основных зазоров. При этом условии для  $F_1$  можно записать:

$$F_1 \approx \frac{g_{00}}{g_{01} + g_{02} + g_{00}} F_k, \quad (6)$$

где  $g_{00}$ ,  $g_{01}$ ,  $g_{02}$ —удельные проводимости основных зазоров, которые определяются (при  $-\varepsilon \leq \alpha \leq \varphi$ ):

$$\begin{aligned} g_{00} &= \frac{a}{\delta_0}, \quad g_{01} = \frac{l_0 + x}{\delta_1}, \\ g_{02} &= \frac{l_0 - x}{\delta_1}; \\ a &= \frac{\pi \left( r_1 + \frac{\delta_0}{2} \right) \gamma}{180}, \\ l_0 &= \frac{\pi \left( r_1 + \frac{\delta_1}{2} \right) \varphi}{180}, \\ x &= \frac{\pi \left( r_1 + \frac{\delta_1}{2} \right) \alpha}{180}. \end{aligned} \quad (7)$$

С учетом (7) величина магнитного потенциала якоря

$$F_1 = \frac{1}{1 + \kappa l_0} F_k, \quad \kappa = 2 \frac{\delta_0}{\delta_1 a}. \quad (8)$$

Найденное значение магнитного потенциала  $F_1$  будет несколько отличаться от действительного ввиду наличия выпучивания.

В соответствии с картинами поля, приведенными на рис. 3 *а, б, в*, определим проводимости рабочих воздушных зазоров, а также проводимости рассеяния. Область отклонения якоря ограничена при этом пределами:  $-\varepsilon \leq \alpha \leq \varphi$ .

Проводимость зазора полюса обмотки возбуждения

$$G_0 = \mu_0 \left[ \frac{(a - 2a_1)}{\delta_0} (b - 2b_1) + 2b g_{vt} + 2a g_{at} \right], \quad (9)$$

$$\mu_0 = 0,4 \pi 10^{-8} \frac{2H}{cm},$$

где  $g_{vt}$  и  $g_{at}$ —удельные проводимости выпучивания с торца полюса и его граней *B* и *A* (рис. 1, *а*). Величина  $g_{vt}$  определяется из картины поля рис. 3, *а*, а  $g_{at}$ —из картины поля рис. 3, *б*:

$$\begin{aligned} g_{vt} &= \left( \frac{1}{2} + \frac{4}{4} \right), \\ g_{at} &= \left( \frac{1}{2} + \frac{3}{4} + \frac{1}{8} \right). \end{aligned} \quad (10)$$

### Проводимости зазоров полюсов сигнальных обмоток

$$G_1 = \mu_0 \left\{ \frac{[(l_0 - l_1 - l_2) + x]}{\delta_1} (b - 2b_2) + b(g_{\text{tp}_1} + g_{\text{tt}_1}) + 2(l_0 + x)g_{\text{tc}} \right\}, \quad (11)$$

$$G_2 = \mu_0 \left\{ \frac{[(l_0 - l_3 - l_4) - x]}{\delta_1} (b - 2b_2) + b(g_{\text{tp}_2} + g_{\text{tt}_2}) + 2(l_0 - x)g_{\text{tc}} \right\},$$

где

$g_{\text{tp}_1}$  и  $g_{\text{tp}_2}$  — удельные проводимости выпучивания с торцов полюсных наконечников граней  $N$  и внутренней грани  $F$  якоря;

$g_{\text{tt}_1}$  и  $g_{\text{tt}_2}$  — удельные проводимости выпучивания с торцов полюсных наконечников и их граней  $t$ ;

$g_{\text{tc}}$  — удельная проводимость выпучивания с торцов полюсных наконечников, а также их граней  $C$  и  $E$ .

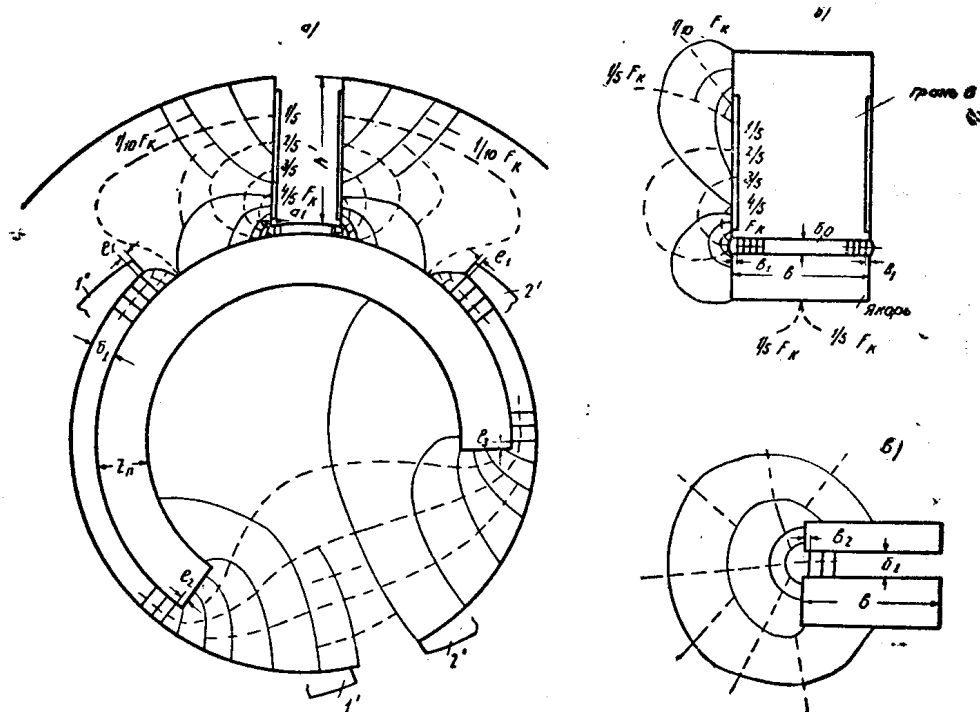


Рис. 3. Картины поля к определению магнитных проводимостей воздушных зазоров с учетом выпучивания и рассеяния. Параметры преобразователя:  $\gamma = 18^\circ$ ,  $\psi = 75^\circ$ ,  $r_1 = 31$  мм,  $\epsilon = 30^\circ$ ,  $z_\eta = 7$  мм,  $K = 21$  мм,  $z_{\eta_0} = 2$  мм,  $b = 20$  мм,  $\delta_0 = 2$  мм,  $\delta_1 = 4$  мм,  $h' = 20$  мм, масштаб 2:1

Величину  $g_{\text{tc}}$  можно приближенно считать постоянной вдоль скосенного наконечника [7].

В соответствии с картиной поля рис. 3, *a*

$$g_{\text{tp}_1} = \left( \frac{2}{2} + \frac{3}{4} + \frac{1}{8} + \frac{1}{16} \right),$$

$$g_{\text{tp}_2} = \left( \frac{2}{2} + \frac{4}{4} + \frac{1}{16} \right), \quad (12)$$

$$g_{\text{tt}_1} = g_{\text{tt}_2} = \frac{1}{2}.$$

Из картины поля рис. 3, в

$$g_{tc} = \left( \frac{1}{2} + \frac{2}{4} + \frac{1}{8} \right). \quad (13)$$

Проводимости рассеяния на ярмо и полюсные наконечники, соответственно

$$G_{sa} = \mu_0 (2g_{sb} b + 2g_{sa} a), \quad (14)$$

$$G_{sp} = 2\mu_0 g_{sp} b,$$

где

$g_{sb}$  и  $g_{sa}$  — удельные проводимости рассеяния на ярмо, соответственно с граней  $B$  и  $A$  полюса обмотки возбуждения;

$g_{sp}$  — удельная проводимость рассеяния с грани  $B$  на полюсной наконечнике.

Из картины поля рис. 3, а,

$$g_{sp} = \frac{1}{20}, \quad (15)$$

$$g_{sb} = \left( \frac{2}{5} + \frac{1}{10} \right).$$

Из картины поля рис. 3, б

$$g_{sa} = \left( \frac{2}{5} + \frac{1}{10} \right). \quad (16)$$

Расстояние  $K$  между полюсом обмотки возбуждения и полюсным наконечником полюса сигнальной обмотки (рис. 1, а) принято равным 20 мм из условия, что при этом поток рассеяния на полюсный наконечник достаточно мал.

На рис. 4 приведены графики зависимости удельных проводимостей: зазора полюса обмотки возбуждения  $g_t$  с учетом выпучивания с граней  $B$ , рассеяния на полюсные наконечники  $g_{sp}$  и рассеяния с грани  $B$  на ярмо  $g_{sa}$  от расстояния  $K$ . Эти зависимости построены на основе картин поля при различных  $K$ . Картина поля при  $K = 20$  мм приведена на рис. 3, а.

Величины удельных проводимостей на графиках рис. 4 определились:

$$\begin{aligned} g_t &= (a - 2a_1) + 2g_{ba}, \\ g_{sp} &= 2g_{sa}, \\ g_{sa} &= 2g_{sb}. \end{aligned} \quad (17)$$

Рис. 4. Зависимости удельных проводимостей от расстояния между полюсом обмотки возбуждения и полюсным наконечником.

Для обеспечения заданной индукции в сердечнике обмотки возбуждения  $B_m$  необходимая величина намагничивающей силы

$$F_k = \frac{\Phi_n}{\sqrt{2} G_{ekb}}, \quad (18)$$

где  $G_{\text{экв}}$  — эквивалентная проводимость магнитной цепи, которая определяется:

$$G_{\text{экв}} = \frac{G_0(G_1 + G_2)}{G_0 + G_1 + G_2}. \quad (19)$$

Магнитный поток в зазоре полюса обмотки возбуждения (в соответствии со схемой замещения, рис. 1, б):

$$\Phi_0 = \Phi_{\text{п}} - (\Phi_{\text{сп}} + \Phi_{\text{ся}}), \quad (20)$$

где  $\Phi_{\text{сп}}$  и  $\Phi_{\text{ся}}$  — потоки рассеяния на полюсные наконечники и ярмо. Эти потоки определяются:

$$\Phi_{\text{сп}} = \sqrt{2} F_k G_{\text{сп}}, \quad (21)$$

$$\Phi_{\text{ся}} = \sqrt{2} F_k F_{\text{ся}}.$$

Эдс., индуцируемые в сигнальных обмотках:

$$E_1 = \frac{\omega w_c}{\sqrt{2}} \Phi'_1, \quad (22)$$

$$E_2 = \frac{\omega w_c}{\sqrt{2}} \Phi'_2,$$

где  $\Phi'_1$  и  $\Phi'_2$  — магнитные потоки в сердечниках сигнальных обмоток 1 и 2.

Величина этих потоков определяется:

$$\begin{aligned} \Phi'_1 &= \frac{G_1}{G_1 + G_2} \Phi_0 + \Phi_{\text{сп}_1}, \\ \Phi'_2 &= \frac{G_2}{G_1 + G_2} \Phi_0 + \Phi_{\text{сп}_2}, \\ \Phi_{\text{сп}_1} &= \Phi_{\text{сп}_2} = -\frac{\Phi_{\text{сп}}}{2}. \end{aligned} \quad (23)$$

Эдс. на выходе преобразователя:

$$E_{\text{вых}} = E_1 - E_2 = \frac{\omega w_c}{\sqrt{2}} \Phi_0 \frac{G_1 - G_2}{G_1 + G_2}. \quad (24)$$

В табл. 1 приведены результаты расчета магнитной цепи, когда выпучивание и рассеяние не учитываются. Там же с целью сопоставления приведены результаты расчета с учетом выпучивания и рассеяния.

Т а б л и ц а 1

Методика расчета	$G_0 \times 10^{-8}$	$G_1 \times 10^{-8}$	$G_2 \times 10^{-8}$	$G_{\text{экв}} \times 10^{-8}$	$F_k$	$E_{\text{вых}}$
	генри					
Без учета выпучивания и рассеяния	12,56	36,8	16,6	10,2	560	13,4
С учетом выпучивания и рассеяния	28,8	53	28	17,0	330	8,3

Индукция  $B_m$  в сердечнике полюса обмотки возбуждения была принята равной  $0,4 : 10^{-4}$  вб/см<sup>2</sup>, число витков сигнальной обмотки —

2000 витков, частота источника питания — 50 гц, положение якоря  $\alpha = 28^\circ$ . Параметры преобразователя приведены в подрисуночной подписи рис. 3.

Приведенная методика расчета была проверена на моделе преобразователя угла, использованного в опытном образце датчика скорости потоков с чувствительным элементом — отклоняющейся заслонкой [3, 7], изготовленного на шахте им. Вахрушева в Кузбассе. Погрешность расчета при этом была порядка 10%.

#### ЛИТЕРАТУРА

1. Г. Н. Агейкин, ред. Датчики систем автоматического контроля и регулирования. Машгиз, 1959.
2. Н. Н. Чистяков. Электрические авиационные приборы. Оборонгиз, 1950.
3. М. А. Тышкин. Датчики скорости вентиляционных потоков с чувствительным элементом — отклоняющейся заслонкой и трансформаторным преобразователем угла. Известия высших учебных заведений, Горный журнал, № 12, 1963.
4. В. А. Бесекерский и др. Проектирование следящих систем. Судпромгиз, 1958.
5. Н. Н. Шумиловский. Комплексный метод расчета магнитных цепей. Автоматика и телемеханика, № 4, 1940.
6. Б. К. Буль. Расчет магнитных цепей с сосредоточенной намагничивающей силой. Автоматика и телемеханика, № 6, 1952.
7. М. А. Тышкин. Датчики скорости шахтных вентиляционных потоков. Кандидатская диссертация, 1962.
8. Б. К. Буль. Графоаналитический метод расчета магнитных проводимостей электрических аппаратов. Электричество, № 3, 1961.
9. Б. К. Буль. Расчет магнитных проводимостей воздушных зазоров для круглых и прямоугольных полюсов. Пособие по проектированию. Заочный энергетический институт, 1961.
10. Б. К. Буль. Метод расчета катушки со сталью на переменном токе. Электричество, № 8, 1954.